Siehe ähnliche Dateien: http://www.ps.bam.de/ZG93/; www.ps.bam.de/ZG.HTM
Technische Information: http://www.ps.bam.de Version 2.1, io=1,1, CIELAB

BAM-Registrierung: 20071001-ZG93/10L/L93G00FA.PS/.TXT BAM-Material: Code=rha4ta
Anwendung für Beurteilung und Messung von Drucker– oder Monitorsystemen

Eingabe: Farbmetrisches Offset-Reflektiv-System ORS18
für Buntton $h^* = lab^*h = 25/360 = 0.069$
*lab*tch* und *lab*nch*
D65: Buntton R
LCH*Ma: 52 69 25
olv*Ma: 1.0 0.0 0.32
Dreiecks-Helligkeit i^*

Ausgabe: Farbmetrisches Offset-Reflektiv-System ORS18
für Buntton $h^* = lab^*h = 25/360 = 0.069$
*lab*tch* und *lab*nch*
D65: Buntton R
LCH*Ma: 52 69 25
olv*Ma: 1.0 0.0 0.32
Dreiecks-Helligkeit i^*

ORS18; adaptierte CIELAB-Daten

	$L^*=L^*_a$	a^*_a	b^*_a	$C^*_{ab,a}$	$h^*_{ab,a}$
O_{Ma}	51.74	60.16	46.48	76.02	38
Y_{Ma}	90.77	−9.44	84.41	84.94	96
L_{Ma}	54.46	−57.8	32.16	66.15	151
C_{Ma}	61.56	−27.91	−41.41	49.95	236
V_{Ma}	31.3	28.61	−40.85	49.88	305
M_{Ma}	51.91	69.26	−7.69	69.68	354
N_{Ma}	24.2	0.0	0.0	0.0	0
W_{Ma}	95.41	0.0	0.0	0.0	0
R_{CIE}	44.36	53.97	24.82	59.4	25
J_{CIE}	82.39	−1.99	62.34	62.37	92
G_{CIE}	55.68	−38.87	10.82	40.36	164
B_{CIE}	35.76	1.06	−43.09	43.11	271

	$L^*=L^*_a$	a^*_a	b^*_a	$C^*_{ab,a}$	$h^*_{ab,a}$
R	51.79	63.09	29.02	69.44	25
R25J	53.73	56.6	48.42	74.48	41
R50J	65.47	35.67	59.82	69.65	59
R75J	76.51	15.98	70.55	72.34	77
J	86.93	−2.58	80.67	80.71	92
J25G	84.92	−17.23	75.99	77.92	103
J50G	73.11	−32.96	59.0	67.58	119
J75G	60.06	−50.34	40.22	64.44	141
G	56.21	−50.44	14.04	52.36	164
G25B	57.95	−43.12	−3.96	43.31	185
G50B	60.3	−33.22	−28.35	43.68	220
G75B	53.27	−12.42	−41.26	43.1	253
B	46.07	1.01	−41.12	41.15	271
B25R	34.63	22.38	−40.91	46.64	299
B50R	45.15	55.92	−18.57	58.93	342
B75R	51.85	65.84	12.67	67.04	11

%Umfang
$u^*_{rel} = 85$
%Regularität
$g^*_{H,rel} = 57$
$g^*_{C,rel} = 59$

$i^* = 0.00$ … $i^* = 1.00$
Brillantheit i^*
relative Buntheit c^*

Eingabe: Farbmetrisches Offset-Reflektiv-System ORS18
für Buntton $h^* = lab^*h = 92/360 = 0.255$
*lab*tch* und *lab*nch*
D65: Buntton J
LCH*Ma: 87 81 92
olv*Ma: 1.0 0.9 0.0
Dreiecks-Helligkeit i^*

Ausgabe: Farbmetrisches Offset-Reflektiv-System ORS18
für Buntton $h^* = lab^*h = 92/360 = 0.255$
*lab*tch* und *lab*nch*
D65: Buntton J
LCH*Ma: 87 81 92
olv*Ma: 1.0 0.9 0.0
Dreiecks-Helligkeit i^*

ORS18; adaptierte CIELAB-Daten

	$L^*=L^*_a$	a^*_a	b^*_a	$C^*_{ab,a}$	$h^*_{ab,a}$
O_{Ma}	51.74	60.16	46.48	76.02	38
Y_{Ma}	90.77	−9.44	84.41	84.94	96
L_{Ma}	54.46	−57.8	32.16	66.15	151
C_{Ma}	61.56	−27.91	−41.41	49.95	236
V_{Ma}	31.3	28.61	−40.85	49.88	305
M_{Ma}	51.91	69.26	−7.69	69.68	354
N_{Ma}	24.2	0.0	0.0	0.0	0
W_{Ma}	95.41	0.0	0.0	0.0	0
R_{CIE}	44.36	53.97	24.82	59.4	25
J_{CIE}	82.39	−1.99	62.34	62.37	92
G_{CIE}	55.68	−38.87	10.82	40.36	164
B_{CIE}	35.76	1.06	−43.09	43.11	271

	$L^*=L^*_a$	a^*_a	b^*_a	$C^*_{ab,a}$	$h^*_{ab,a}$
R	51.79	63.09	29.02	69.44	25
R25J	53.73	56.6	48.42	74.48	41
R50J	65.47	35.67	59.82	69.65	59
R75J	76.51	15.98	70.55	72.34	77
J	86.93	−2.58	80.67	80.71	92
J25G	84.92	−17.23	75.99	77.92	103
J50G	73.11	−32.96	59.0	67.58	119
J75G	60.06	−50.34	40.22	64.44	141
G	56.21	−50.44	14.04	52.36	164
G25B	57.95	−43.12	−3.96	43.31	185
G50B	60.3	−33.22	−28.35	43.68	220
G75B	53.27	−12.42	−41.26	43.1	253
B	46.07	1.01	−41.12	41.15	271
B25R	34.63	22.38	−40.91	46.64	299
B50R	45.15	55.92	−18.57	58.93	342
B75R	51.85	65.84	12.67	67.04	11

%Umfang
$u^*_{rel} = 85$
%Regularität
$g^*_{H,rel} = 57$
$g^*_{C,rel} = 59$

$i^* = 0.00$ … $i^* = 1.00$
Brillantheit i^*
relative Buntheit c^*

Eingabe: Farbmetrisches Offset-Reflektiv-System ORS18
für Buntton $h^* = lab^*h = 164/360 = 0.457$
*lab*tch* und *lab*nch*
D65: Buntton G
LCH*Ma: 56 52 164
olv*Ma: 0.0 1.0 0.25
Dreiecks-Helligkeit i^*

Ausgabe: Farbmetrisches Offset-Reflektiv-System ORS18
für Buntton $h^* = lab^*h = 164/360 = 0.457$
*lab*tch* und *lab*nch*
D65: Buntton G
LCH*Ma: 56 52 164
olv*Ma: 0.0 1.0 0.25
Dreiecks-Helligkeit i^*

ORS18; adaptierte CIELAB-Daten

	$L^*=L^*_a$	a^*_a	b^*_a	$C^*_{ab,a}$	$h^*_{ab,a}$
O_{Ma}	51.74	60.16	46.48	76.02	38
Y_{Ma}	90.77	−9.44	84.41	84.94	96
L_{Ma}	54.46	−57.8	32.16	66.15	151
C_{Ma}	61.56	−27.91	−41.41	49.95	236
V_{Ma}	31.3	28.61	−40.85	49.88	305
M_{Ma}	51.91	69.26	−7.69	69.68	354
N_{Ma}	24.2	0.0	0.0	0.0	0
W_{Ma}	95.41	0.0	0.0	0.0	0
R_{CIE}	44.36	53.97	24.82	59.4	25
J_{CIE}	82.39	−1.99	62.34	62.37	92
G_{CIE}	55.68	−38.87	10.82	40.36	164
B_{CIE}	35.76	1.06	−43.09	43.11	271

	$L^*=L^*_a$	a^*_a	b^*_a	$C^*_{ab,a}$	$h^*_{ab,a}$
R	51.79	63.09	29.02	69.44	25
R25J	53.73	56.6	48.42	74.48	41
R50J	65.47	35.67	59.82	69.65	59
R75J	76.51	15.98	70.55	72.34	77
J	86.93	−2.58	80.67	80.71	92
J25G	84.92	−17.23	75.99	77.92	103
J50G	73.11	−32.96	59.0	67.58	119
J75G	60.06	−50.34	40.22	64.44	141
G	56.21	−50.44	14.04	52.36	164
G25B	57.95	−43.12	−3.96	43.31	185
G50B	60.3	−33.22	−28.35	43.68	220
G75B	53.27	−12.42	−41.26	43.1	253
B	46.07	1.01	−41.12	41.15	271
B25R	34.63	22.38	−40.91	46.64	299
B50R	45.15	55.92	−18.57	58.93	342
B75R	51.85	65.84	12.67	67.04	11

%Umfang
$u^*_{rel} = 85$
%Regularität
$g^*_{H,rel} = 57$
$g^*_{C,rel} = 59$

$i^* = 0.00$ … $i^* = 1.00$
Brillantheit i^*
relative Buntheit c^*

Eingabe: Farbmetrisches Offset-Reflektiv-System ORS18
für Buntton $h^* = lab^*h = 271/360 = 0.754$
*lab*tch* und *lab*nch*
D65: Buntton B
LCH*Ma: 46 41 271
olv*Ma: 0.0 0.49 1.0
Dreiecks-Helligkeit i^*

Ausgabe: Farbmetrisches Offset-Reflektiv-System ORS18
für Buntton $h^* = lab^*h = 271/360 = 0.754$
*lab*tch* und *lab*nch*
D65: Buntton B
LCH*Ma: 46 41 271
olv*Ma: 0.0 0.49 1.0
Dreiecks-Helligkeit i^*

ORS18; adaptierte CIELAB-Daten

	$L^*=L^*_a$	a^*_a	b^*_a	$C^*_{ab,a}$	$h^*_{ab,a}$
O_{Ma}	51.74	60.16	46.48	76.02	38
Y_{Ma}	90.77	−9.44	84.41	84.94	96
L_{Ma}	54.46	−57.8	32.16	66.15	151
C_{Ma}	61.56	−27.91	−41.41	49.95	236
V_{Ma}	31.3	28.61	−40.85	49.88	305
M_{Ma}	51.91	69.26	−7.69	69.68	354
N_{Ma}	24.2	0.0	0.0	0.0	0
W_{Ma}	95.41	0.0	0.0	0.0	0
R_{CIE}	44.36	53.97	24.82	59.4	25
J_{CIE}	82.39	−1.99	62.34	62.37	92
G_{CIE}	55.68	−38.87	10.82	40.36	164
B_{CIE}	35.76	1.06	−43.09	43.11	271

	$L^*=L^*_a$	a^*_a	b^*_a	$C^*_{ab,a}$	$h^*_{ab,a}$
R	51.79	63.09	29.02	69.44	25
R25J	53.73	56.6	48.42	74.48	41
R50J	65.47	35.67	59.82	69.65	59
R75J	76.51	15.98	70.55	72.34	77
J	86.93	−2.58	80.67	80.71	92
J25G	84.92	−17.23	75.99	77.92	103
J50G	73.11	−32.96	59.0	67.58	119
J75G	60.06	−50.34	40.22	64.44	141
G	56.21	−50.44	14.04	52.36	164
G25B	57.95	−43.12	−3.96	43.31	185
G50B	60.3	−33.22	−28.35	43.68	220
G75B	53.27	−12.42	−41.26	43.1	253
B	46.07	1.01	−41.12	41.15	271
B25R	34.63	22.38	−40.91	46.64	299
B50R	45.15	55.92	−18.57	58.93	342
B75R	51.85	65.84	12.67	67.04	11

%Umfang
$u^*_{rel} = 85$
%Regularität
$g^*_{H,rel} = 57$
$g^*_{C,rel} = 59$

$i^* = 0.00$ … $i^* = 1.00$
Brillantheit i^*
relative Buntheit c^*

Siehe ähnliche Dateien: http://www.ps.bam.de/ZG93/; www.ps.bam.de/ZG.HTM
Technische Information: http://www.ps.bam.de Version 2.1, io=1,1, CIELAB

BAM-Registrierung: 20071001-ZG93/10L/L93G00FA.PS/.TXT BAM-Material: Code=rha4ta
Anwendung für Beurteilung und Messung von Drucker– oder Monitorsystemen

Eingabe: Farbmetrisches Offset-Reflektiv-System ORS18
für Buntton $h^* = lab^*h = 25/360 = 0.069$
*lab*tch* und *lab*nch*
D65: Buntton R
LCH*Ma: 52 69 25
olv*Ma: 1.0 0.0 0.32
Dreiecks-Helligkeit *i**

ORS18; adaptierte CIELAB-Daten

	$L^*=L^*_a$	a^*_a	b^*_a	$C^*_{ab,a}$	$h^*_{ab,a}$
O_{Ma}	51.74	60.16	46.48	76.02	38
Y_{Ma}	90.77	−9.44	84.41	84.94	96
L_{Ma}	54.46	−57.8	32.16	66.15	151
C_{Ma}	61.56	−27.91	−41.41	49.95	236
V_{Ma}	31.3	28.61	−40.85	49.88	305
M_{Ma}	51.91	69.26	−7.69	69.68	354
N_{Ma}	24.2	0.0	0.0	0.0	0
W_{Ma}	95.41	0.0	0.0	0.0	0
R_{CIE}	44.36	53.97	24.82	59.4	25
J_{CIE}	82.39	−1.99	62.34	62.37	92
G_{CIE}	55.68	−38.87	10.82	40.36	164
B_{CIE}	35.76	1.06	−43.09	43.11	271

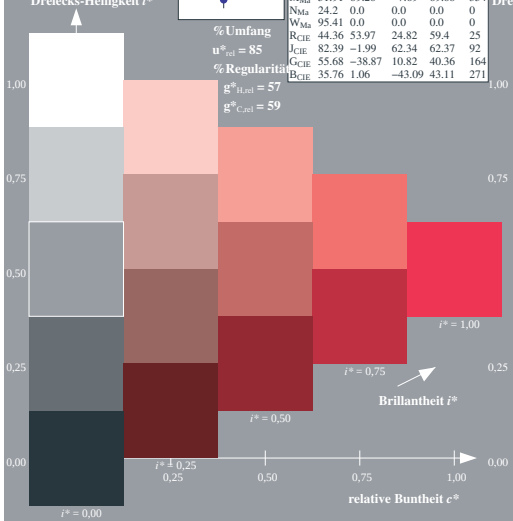

Ausgabe: Farbmetrisches Offset-Reflektiv-System ORS18
für Buntton $h^* = lab^*h = 25/360 = 0.069$
*lab*tch* und *lab*nch*
D65: Buntton R
LCH*Ma: 52 69 25
olv*Ma: 1.0 0.0 0.32
Dreiecks-Helligkeit *i**

ORS18; adaptierte CIELAB-Daten

	$L^*=L^*_a$	a^*_a	b^*_a	$C^*_{ab,a}$	$h^*_{ab,a}$
R	51.79	63.09	29.02	69.44	25
R25J	53.73	56.6	48.42	74.48	41
R50J	65.47	35.67	59.82	69.65	59
R75J	76.51	15.98	70.55	72.34	77
J	86.93	−2.58	80.67	80.71	92
J25G	84.92	−17.23	75.99	77.92	103
J50G	73.11	−32.96	59.0	67.58	119
J75G	60.06	−50.34	40.22	64.44	141
G	56.21	−50.44	14.04	52.36	164
G25B	57.95	−43.12	−3.96	43.31	185
G50B	60.3	−33.22	−28.35	43.68	220
G75B	53.27	−12.42	−41.26	43.1	253
B	46.07	1.01	−41.12	41.15	271
B25R	34.63	22.38	−40.91	46.64	299
B50R	45.15	55.92	−18.57	58.93	342
B75R	51.85	65.84	12.67	67.04	11

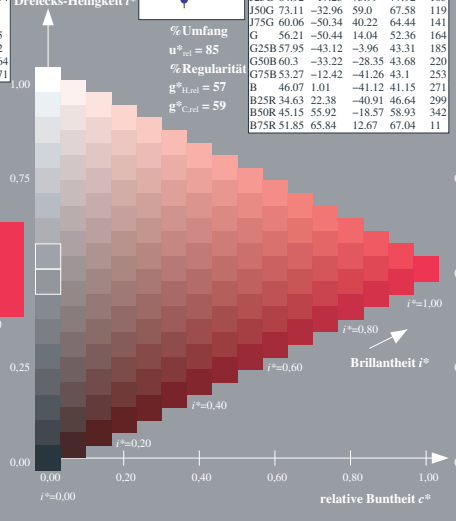

Eingabe: Farbmetrisches Offset-Reflektiv-System ORS18
für Buntton $h^* = lab^*h = 92/360 = 0.255$
*lab*tch* und *lab*nch*
D65: Buntton J
LCH*Ma: 87 81 92
olv*Ma: 1.0 0.9 0.0
Dreiecks-Helligkeit *i**

ORS18; adaptierte CIELAB-Daten

	$L^*=L^*_a$	a^*_a	b^*_a	$C^*_{ab,a}$	$h^*_{ab,a}$
O_{Ma}	51.74	60.16	46.48	76.02	38
Y_{Ma}	90.77	−9.44	84.41	84.94	96
L_{Ma}	54.46	−57.8	32.16	66.15	151
C_{Ma}	61.56	−27.91	−41.41	49.95	236
V_{Ma}	31.3	28.61	−40.85	49.88	305
M_{Ma}	51.91	69.26	−7.69	69.68	354
N_{Ma}	24.2	0.0	0.0	0.0	0
W_{Ma}	95.41	0.0	0.0	0.0	0
R_{CIE}	44.36	53.97	24.82	59.4	25
J_{CIE}	82.39	−1.99	62.34	62.37	92
G_{CIE}	55.68	−38.87	10.82	40.36	164
B_{CIE}	35.76	1.06	−43.09	43.11	271

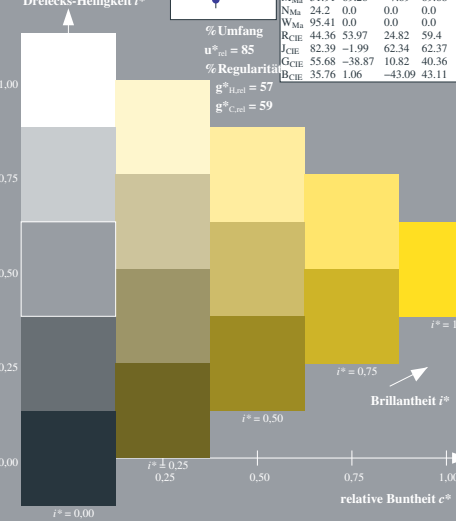

Ausgabe: Farbmetrisches Offset-Reflektiv-System ORS18
für Buntton $h^* = lab^*h = 92/360 = 0.255$
*lab*tch* und *lab*nch*
D65: Buntton J
LCH*Ma: 87 81 92
olv*Ma: 1.0 0.9 0.0
Dreiecks-Helligkeit *i**

ORS18; adaptierte CIELAB-Daten

	$L^*=L^*_a$	a^*_a	b^*_a	$C^*_{ab,a}$	$h^*_{ab,a}$
R	51.79	63.09	29.02	69.44	25
R25J	53.73	56.6	48.42	74.48	41
R50J	65.47	35.67	59.82	69.65	59
R75J	76.51	15.98	70.55	72.34	77
J	86.93	−2.58	80.67	80.71	92
J25G	84.92	−17.23	75.99	77.92	103
J50G	73.11	−32.96	59.0	67.58	119
J75G	60.06	−50.34	40.22	64.44	141
G	56.21	−50.44	14.04	52.36	164
G25B	57.95	−43.12	−3.96	43.31	185
G50B	60.3	−33.22	−28.35	43.68	220
G75B	53.27	−12.42	−41.26	43.1	253
B	46.07	1.01	−41.12	41.15	271
B25R	34.63	22.38	−40.91	46.64	299
B50R	45.15	55.92	−18.57	58.93	342
B75R	51.85	65.84	12.67	67.04	11

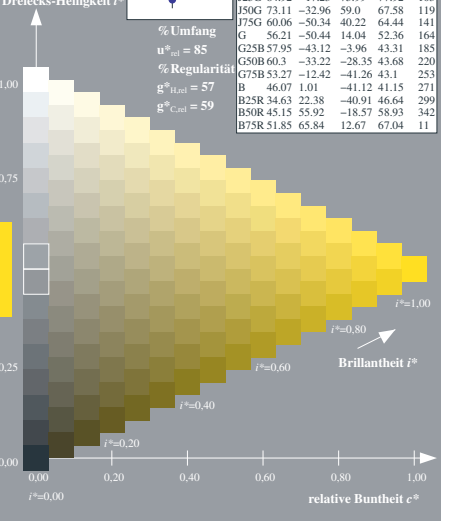

Eingabe: Farbmetrisches Offset-Reflektiv-System ORS18
für Buntton $h^* = lab^*h = 164/360 = 0.457$
*lab*tch* und *lab*nch*
D65: Buntton G
LCH*Ma: 56 52 164
olv*Ma: 0.0 1.0 0.25
Dreiecks-Helligkeit *i**

ORS18; adaptierte CIELAB-Daten

	$L^*=L^*_a$	a^*_a	b^*_a	$C^*_{ab,a}$	$h^*_{ab,a}$
O_{Ma}	51.74	60.16	46.48	76.02	38
Y_{Ma}	90.77	−9.44	84.41	84.94	96
L_{Ma}	54.46	−57.8	32.16	66.15	151
C_{Ma}	61.56	−27.91	−41.41	49.95	236
V_{Ma}	31.3	28.61	−40.85	49.88	305
M_{Ma}	51.91	69.26	−7.69	69.68	354
N_{Ma}	24.2	0.0	0.0	0.0	0
W_{Ma}	95.41	0.0	0.0	0.0	0
R_{CIE}	44.36	53.97	24.82	59.4	25
J_{CIE}	82.39	−1.99	62.34	62.37	92
G_{CIE}	55.68	−38.87	10.82	40.36	164
B_{CIE}	35.76	1.06	−43.09	43.11	271

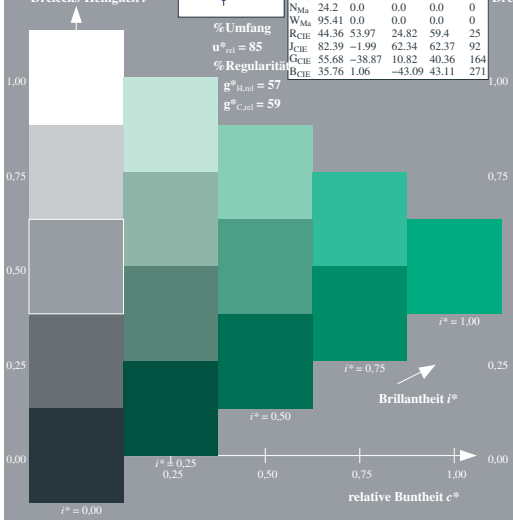

Ausgabe: Farbmetrisches Offset-Reflektiv-System ORS18
für Buntton $h^* = lab^*h = 164/360 = 0.457$
*lab*tch* und *lab*nch*
D65: Buntton G
LCH*Ma: 56 52 164
olv*Ma: 0.0 1.0 0.25
Dreiecks-Helligkeit *i**

ORS18; adaptierte CIELAB-Daten

	$L^*=L^*_a$	a^*_a	b^*_a	$C^*_{ab,a}$	$h^*_{ab,a}$
R	51.79	63.09	29.02	69.44	25
R25J	53.73	56.6	48.42	74.48	41
R50J	65.47	35.67	59.82	69.65	59
R75J	76.51	15.98	70.55	72.34	77
J	86.93	−2.58	80.67	80.71	92
J25G	84.92	−17.23	75.99	77.92	103
J50G	73.11	−32.96	59.0	67.58	119
J75G	60.06	−50.34	40.22	64.44	141
G	56.21	−50.44	14.04	52.36	164
G25B	57.95	−43.12	−3.96	43.31	185
G50B	60.3	−33.22	−28.35	43.68	220
G75B	53.27	−12.42	−41.26	43.1	253
B	46.07	1.01	−41.12	41.15	271
B25R	34.63	22.38	−40.91	46.64	299
B50R	45.15	55.92	−18.57	58.93	342
B75R	51.85	65.84	12.67	67.04	11

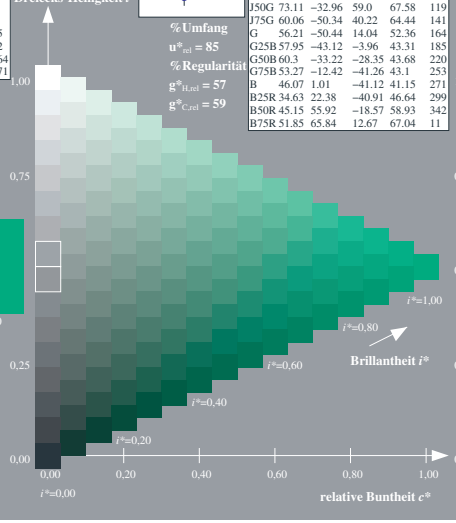

Eingabe: Farbmetrisches Offset-Reflektiv-System ORS18
für Buntton $h^* = lab^*h = 271/360 = 0.754$
*lab*tch* und *lab*nch*
D65: Buntton B
LCH*Ma: 46 41 271
olv*Ma: 0.0 0.49 1.0
Dreiecks-Helligkeit *i**

ORS18; adaptierte CIELAB-Daten

	$L^*=L^*_a$	a^*_a	b^*_a	$C^*_{ab,a}$	$h^*_{ab,a}$
O_{Ma}	51.74	60.16	46.48	76.02	38
Y_{Ma}	90.77	−9.44	84.41	84.94	96
L_{Ma}	54.46	−57.8	32.16	66.15	151
C_{Ma}	61.56	−27.91	−41.41	49.95	236
V_{Ma}	31.3	28.61	−40.85	49.88	305
M_{Ma}	51.91	69.26	−7.69	69.68	354
N_{Ma}	24.2	0.0	0.0	0.0	0
W_{Ma}	95.41	0.0	0.0	0.0	0
R_{CIE}	44.36	53.97	24.82	59.4	25
J_{CIE}	82.39	−1.99	62.34	62.37	92
G_{CIE}	55.68	−38.87	10.82	40.36	164
B_{CIE}	35.76	1.06	−43.09	43.11	271

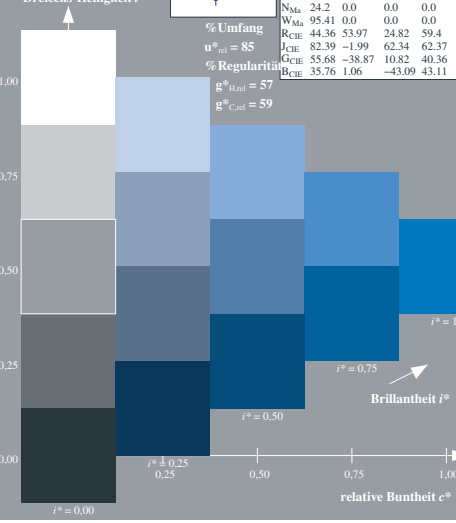

Ausgabe: Farbmetrisches Offset-Reflektiv-System ORS18
für Buntton $h^* = lab^*h = 271/360 = 0.754$
*lab*tch* und *lab*nch*
D65: Buntton B
LCH*Ma: 46 41 271
olv*Ma: 0.0 0.49 1.0
Dreiecks-Helligkeit *i**

ORS18; adaptierte CIELAB-Daten

	$L^*=L^*_a$	a^*_a	b^*_a	$C^*_{ab,a}$	$h^*_{ab,a}$
R	51.79	63.09	29.02	69.44	25
R25J	53.73	56.6	48.42	74.48	41
R50J	65.47	35.67	59.82	69.65	59
R75J	76.51	15.98	70.55	72.34	77
J	86.93	−2.58	80.67	80.71	92
J25G	84.92	−17.23	75.99	77.92	103
J50G	73.11	−32.96	59.0	67.58	119
J75G	60.06	−50.34	40.22	64.44	141
G	56.21	−50.44	14.04	52.36	164
G25B	57.95	−43.12	−3.96	43.31	185
G50B	60.3	−33.22	−28.35	43.68	220
G75B	53.27	−12.42	−41.26	43.1	253
B	46.07	1.01	−41.12	41.15	271
B25R	34.63	22.38	−40.91	46.64	299
B50R	45.15	55.92	−18.57	58.93	342
B75R	51.85	65.84	12.67	67.04	11

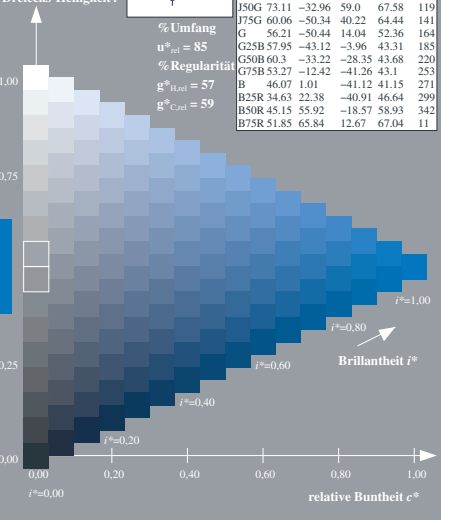

Siehe ähnliche Dateien: http://www.ps.bam.de/ZG93/; www.ps.bam.de/ZG.HTM
Technische Information: http://www.ps.bam.de Version 2.1, io=1,1, CIELAB

BAM-Registrierung: 20071001-ZG93/10L/L93G00FA.PS/.TXT BAM-Material: Code=rha4ta
Anwendung für Beurteilung und Messung von Drucker– oder Monitorsystemen

Eingabe: Farbmetrisches Offset-Reflektiv-System ORS18

für Buntton $h^* = lab^*h = 25/360 = 0.069$

*lab*rch* und *lab*mch*

D65: Buntton R

LCH*Ma: 52 69 25

olv*Ma: 1.0 0.0 0.32

Dreiecks-Helligkeit l^*

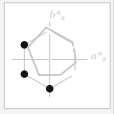

ORS18; adaptierte CIELAB-Daten

	$L^*=L^*_a$	a^*_a	b^*_a	$C^*_{ab,a}$	$h^*_{ab,a}$
O_{Ma}	51.74	60.16	46.48	76.02	38
Y_{Ma}	90.77	−9.44	84.41	84.94	96
L_{Ma}	54.46	−57.8	32.16	66.15	151
C_{Ma}	61.56	−27.91	−41.41	49.95	236
V_{Ma}	31.3	28.61	−40.85	49.88	305
M_{Ma}	51.91	69.26	−7.69	69.68	354
N_{Ma}	24.2	0.0	0.0	0.0	0
W_{Ma}	95.41	0.0	0.0	0.0	0
R_{CIE}	44.36	53.97	24.82	59.4	25
J_{CIE}	82.39	−1.99	62.34	62.37	92
G_{CIE}	55.68	−38.87	10.82	40.36	164
B_{CIE}	35.76	1.06	−43.09	43.11	271

Ausgabe: Farbmetrisches Offset-Reflektiv-System ORS18

für Buntton $h^* = lab^*h = 25/360 = 0.069$

*lab*rch* und *lab*mch*

D65: Buntton R

LCH*Ma: 52 69 25

olv*Ma: 1.0 0.0 0.32

Dreiecks-Helligkeit l^*

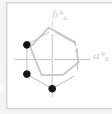

ORS18; adaptierte CIELAB-Daten

	$L^*=L^*_a$	a^*_a	b^*_a	$C^*_{ab,a}$	$h^*_{ab,a}$
R	51.79	63.09	29.02	69.44	25
R25J	53.73	56.6	48.42	74.48	41
R50J	65.47	35.67	59.82	69.65	59
R75J	76.51	15.98	70.55	72.34	77
J	86.93	−2.58	80.67	80.71	92
J25G	84.92	−17.23	75.99	77.92	103
J50G	73.11	−32.96	59.0	67.58	119
J75G	60.06	−50.34	40.22	64.44	141
G	56.21	−50.44	14.04	52.36	164
G25B	57.95	−43.12	−3.96	43.31	185
G50B	60.3	−33.22	−28.35	43.68	220
G75B	53.27	−12.42	−41.26	43.1	253
B	46.07	1.01	−41.12	41.15	271
B25R	34.63	22.38	−40.91	46.64	299
B50R	45.15	55.92	−18.57	58.93	342
B75R	51.85	65.84	12.67	67.04	11

Eingabe: Farbmetrisches Offset-Reflektiv-System ORS18

für Buntton $h^* = lab^*h = 92/360 = 0.255$

*lab*rch* und *lab*mch*

D65: Buntton J

LCH*Ma: 87 81 92

olv*Ma: 1.0 0.9 0.0

Dreiecks-Helligkeit l^*

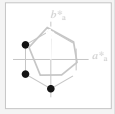

ORS18; adaptierte CIELAB-Daten

	$L^*=L^*_a$	a^*_a	b^*_a	$C^*_{ab,a}$	$h^*_{ab,a}$
O_{Ma}	51.74	60.16	46.48	76.02	38
Y_{Ma}	90.77	−9.44	84.41	84.94	96
L_{Ma}	54.46	−57.8	32.16	66.15	151
C_{Ma}	61.56	−27.91	−41.41	49.95	236
V_{Ma}	31.3	28.61	−40.85	49.88	305
M_{Ma}	51.91	69.26	−7.69	69.68	354
N_{Ma}	24.2	0.0	0.0	0.0	0
W_{Ma}	95.41	0.0	0.0	0.0	0
R_{CIE}	44.36	53.97	24.82	59.4	25
J_{CIE}	82.39	−1.99	62.34	62.37	92
G_{CIE}	55.68	−38.87	10.82	40.36	164
B_{CIE}	35.76	1.06	−43.09	43.11	271

Ausgabe: Farbmetrisches Offset-Reflektiv-System ORS18

für Buntton $h^* = lab^*h = 92/360 = 0.255$

*lab*rch* und *lab*mch*

D65: Buntton J

LCH*Ma: 87 81 92

olv*Ma: 1.0 0.9 0.0

Dreiecks-Helligkeit l^*

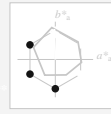

ORS18; adaptierte CIELAB-Daten

	$L^*=L^*_a$	a^*_a	b^*_a	$C^*_{ab,a}$	$h^*_{ab,a}$
R	51.79	63.09	29.02	69.44	25
R25J	53.73	56.6	48.42	74.48	41
R50J	65.47	35.67	59.82	69.65	59
R75J	76.51	15.98	70.55	72.34	77
J	86.93	−2.58	80.67	80.71	92
J25G	84.92	−17.23	75.99	77.92	103
J50G	73.11	−32.96	59.0	67.58	119
J75G	60.06	−50.34	40.22	64.44	141
G	56.21	−50.44	14.04	52.36	164
G25B	57.95	−43.12	−3.96	43.31	185
G50B	60.3	−33.22	−28.35	43.68	220
G75B	53.27	−12.42	−41.26	43.1	253
B	46.07	1.01	−41.12	41.15	271
B25R	34.63	22.38	−40.91	46.64	299
B50R	45.15	55.92	−18.57	58.93	342
B75R	51.85	65.84	12.67	67.04	11

Eingabe: Farbmetrisches Offset-Reflektiv-System ORS18

für Buntton $h^* = lab^*h = 164/360 = 0.457$

*lab*rch* und *lab*mch*

D65: Buntton G

LCH*Ma: 56 52 164

olv*Ma: 0.0 1.0 0.25

Dreiecks-Helligkeit l^*

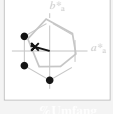

ORS18; adaptierte CIELAB-Daten

	$L^*=L^*_a$	a^*_a	b^*_a	$C^*_{ab,a}$	$h^*_{ab,a}$
O_{Ma}	51.74	60.16	46.48	76.02	38
Y_{Ma}	90.77	−9.44	84.41	84.94	96
L_{Ma}	54.46	−57.8	32.16	66.15	151
C_{Ma}	61.56	−27.91	−41.41	49.95	236
V_{Ma}	31.3	28.61	−40.85	49.88	305
M_{Ma}	51.91	69.26	−7.69	69.68	354
N_{Ma}	24.2	0.0	0.0	0.0	0
W_{Ma}	95.41	0.0	0.0	0.0	0
R_{CIE}	44.36	53.97	24.82	59.4	25
J_{CIE}	82.39	−1.99	62.34	62.37	92
G_{CIE}	55.68	−38.87	10.82	40.36	164
B_{CIE}	35.76	1.06	−43.09	43.11	271

Ausgabe: Farbmetrisches Offset-Reflektiv-System ORS18

für Buntton $h^* = lab^*h = 164/360 = 0.457$

*lab*rch* und *lab*mch*

D65: Buntton G

LCH*Ma: 56 52 164

olv*Ma: 0.0 1.0 0.25

Dreiecks-Helligkeit l^*

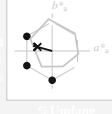

ORS18; adaptierte CIELAB-Daten

	$L^*=L^*_a$	a^*_a	b^*_a	$C^*_{ab,a}$	$h^*_{ab,a}$
R	51.79	63.09	29.02	69.44	25
R25J	53.73	56.6	48.42	74.48	41
R50J	65.47	35.67	59.82	69.65	59
R75J	76.51	15.98	70.55	72.34	77
J	86.93	−2.58	80.67	80.71	92
J25G	84.92	−17.23	75.99	77.92	103
J50G	73.11	−32.96	59.0	67.58	119
J75G	60.06	−50.34	40.22	64.44	141
G	56.21	−50.44	14.04	52.36	164
G25B	57.95	−43.12	−3.96	43.31	185
G50B	60.3	−33.22	−28.35	43.68	220
G75B	53.27	−12.42	−41.26	43.1	253
B	46.07	1.01	−41.12	41.15	271
B25R	34.63	22.38	−40.91	46.64	299
B50R	45.15	55.92	−18.57	58.93	342
B75R	51.85	65.84	12.67	67.04	11

Eingabe: Farbmetrisches Offset-Reflektiv-System ORS18

für Buntton $h^* = lab^*h = 271/360 = 0.754$

*lab*rch* und *lab*mch*

D65: Buntton B

LCH*Ma: 46 41 271

olv*Ma: 0.0 0.49 1.0

Dreiecks-Helligkeit l^*

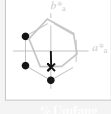

ORS18; adaptierte CIELAB-Daten

	$L^*=L^*_a$	a^*_a	b^*_a	$C^*_{ab,a}$	$h^*_{ab,a}$
O_{Ma}	51.74	60.16	46.48	76.02	38
Y_{Ma}	90.77	−9.44	84.41	84.94	96
L_{Ma}	54.46	−57.8	32.16	66.15	151
C_{Ma}	61.56	−27.91	−41.41	49.95	236
V_{Ma}	31.3	28.61	−40.85	49.88	305
M_{Ma}	51.91	69.26	−7.69	69.68	354
N_{Ma}	24.2	0.0	0.0	0.0	0
W_{Ma}	95.41	0.0	0.0	0.0	0
R_{CIE}	44.36	53.97	24.82	59.4	25
J_{CIE}	82.39	−1.99	62.34	62.37	92
G_{CIE}	55.68	−38.87	10.82	40.36	164
B_{CIE}	35.76	1.06	−43.09	43.11	271

Ausgabe: Farbmetrisches Offset-Reflektiv-System ORS18

für Buntton $h^* = lab^*h = 271/360 = 0.754$

*lab*rch* und *lab*mch*

D65: Buntton B

LCH*Ma: 46 41 271

olv*Ma: 0.0 0.49 1.0

Dreiecks-Helligkeit l^*

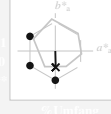

ORS18; adaptierte CIELAB-Daten

	$L^*=L^*_a$	a^*_a	b^*_a	$C^*_{ab,a}$	$h^*_{ab,a}$
R	51.79	63.09	29.02	69.44	25
R25J	53.73	56.6	48.42	74.48	41
R50J	65.47	35.67	59.82	69.65	59
R75J	76.51	15.98	70.55	72.34	77
J	86.93	−2.58	80.67	80.71	92
J25G	84.92	−17.23	75.99	77.92	103
J50G	73.11	−32.96	59.0	67.58	119
J75G	60.06	−50.34	40.22	64.44	141
G	56.21	−50.44	14.04	52.36	164
G25B	57.95	−43.12	−3.96	43.31	185
G50B	60.3	−33.22	−28.35	43.68	220
G75B	53.27	−12.42	−41.26	43.1	253
B	46.07	1.01	−41.12	41.15	271
B25R	34.63	22.38	−40.91	46.64	299
B50R	45.15	55.92	−18.57	58.93	342
B75R	51.85	65.84	12.67	67.04	11

m

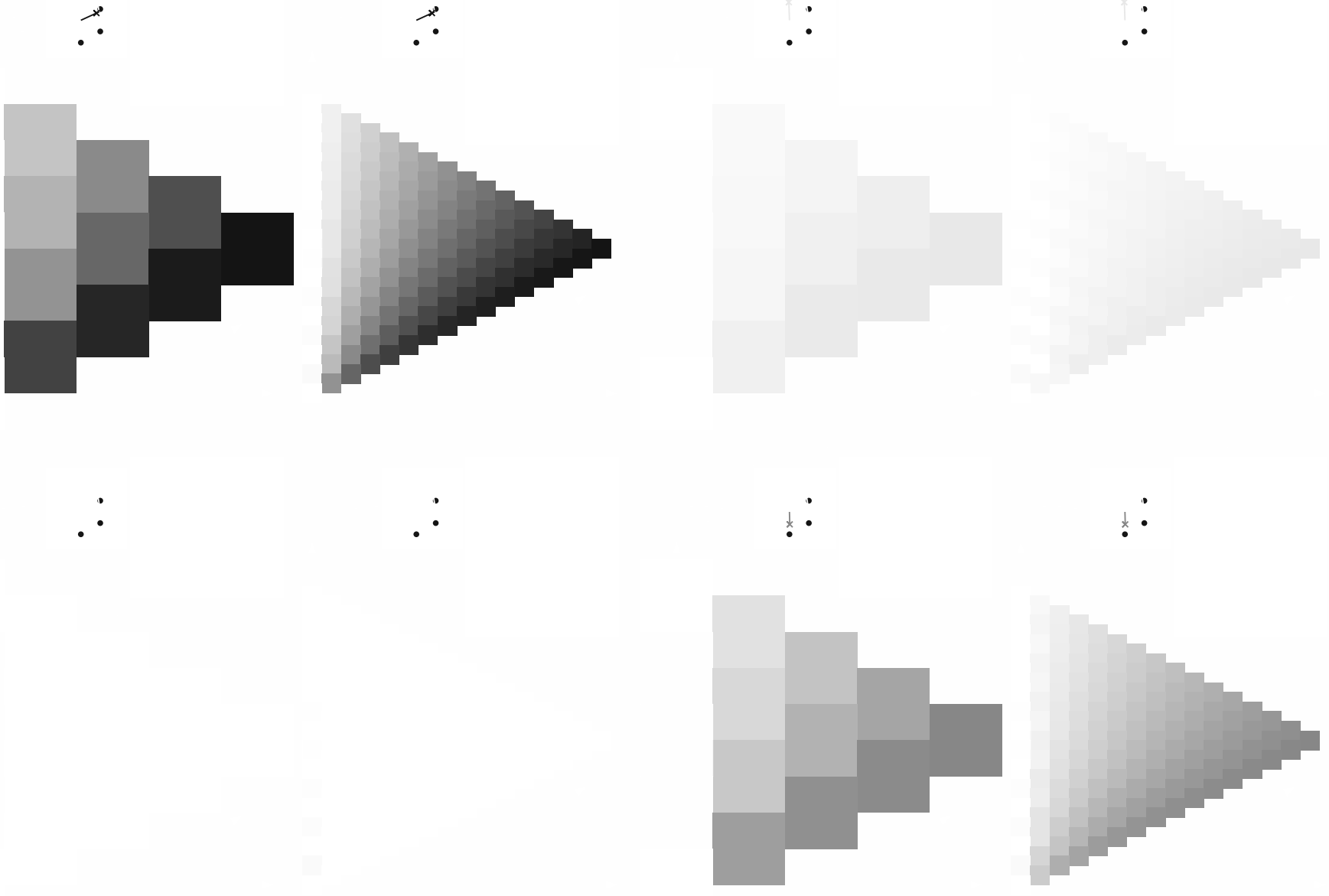

y

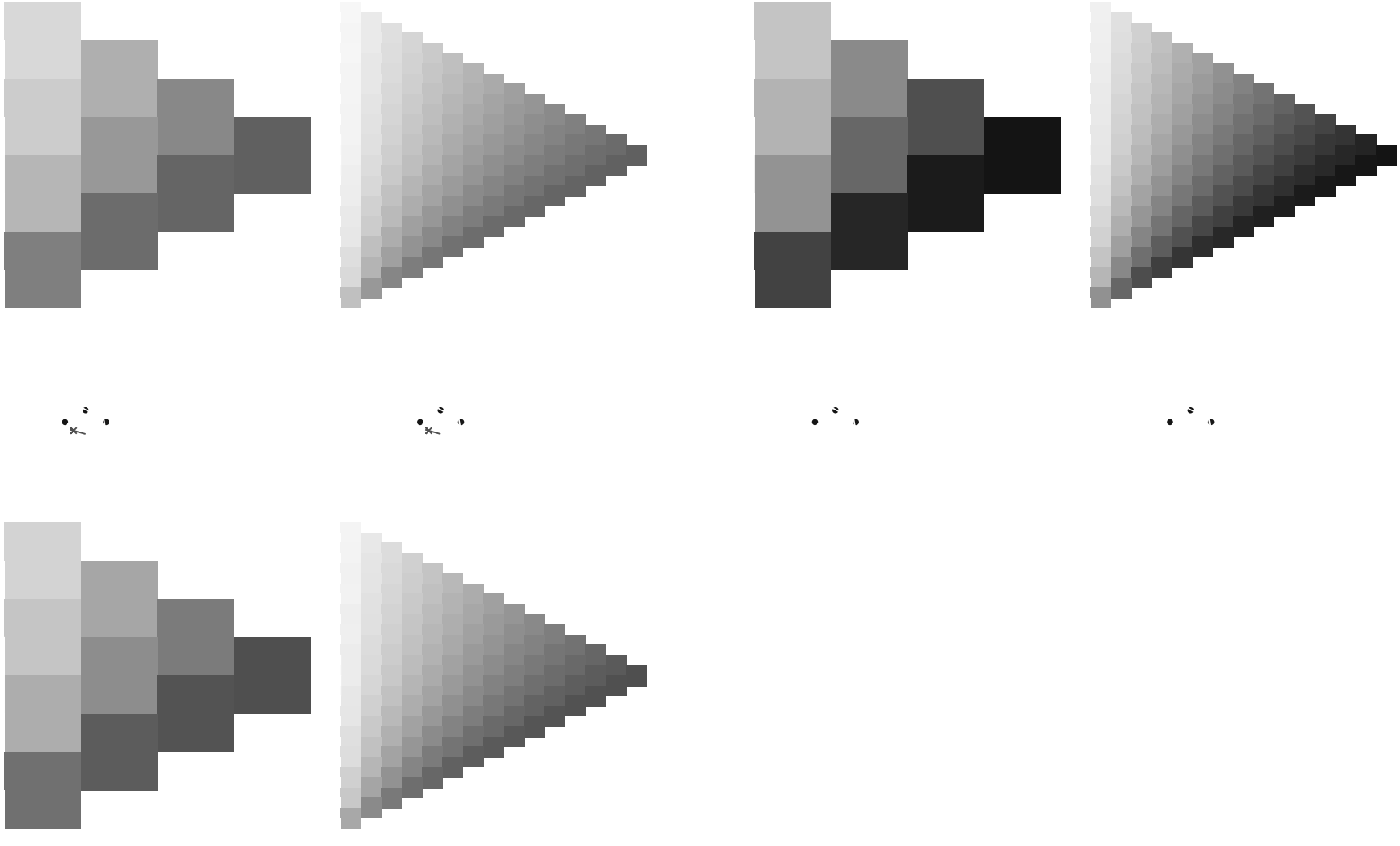

Siehe ähnliche Dateien: http://www.ps.bam.de/ZG93/; www.ps.bam.de/ZG.HTM
Technische Information: http://www.ps.bam.de Version 2.1, io=1,1, CIELAB
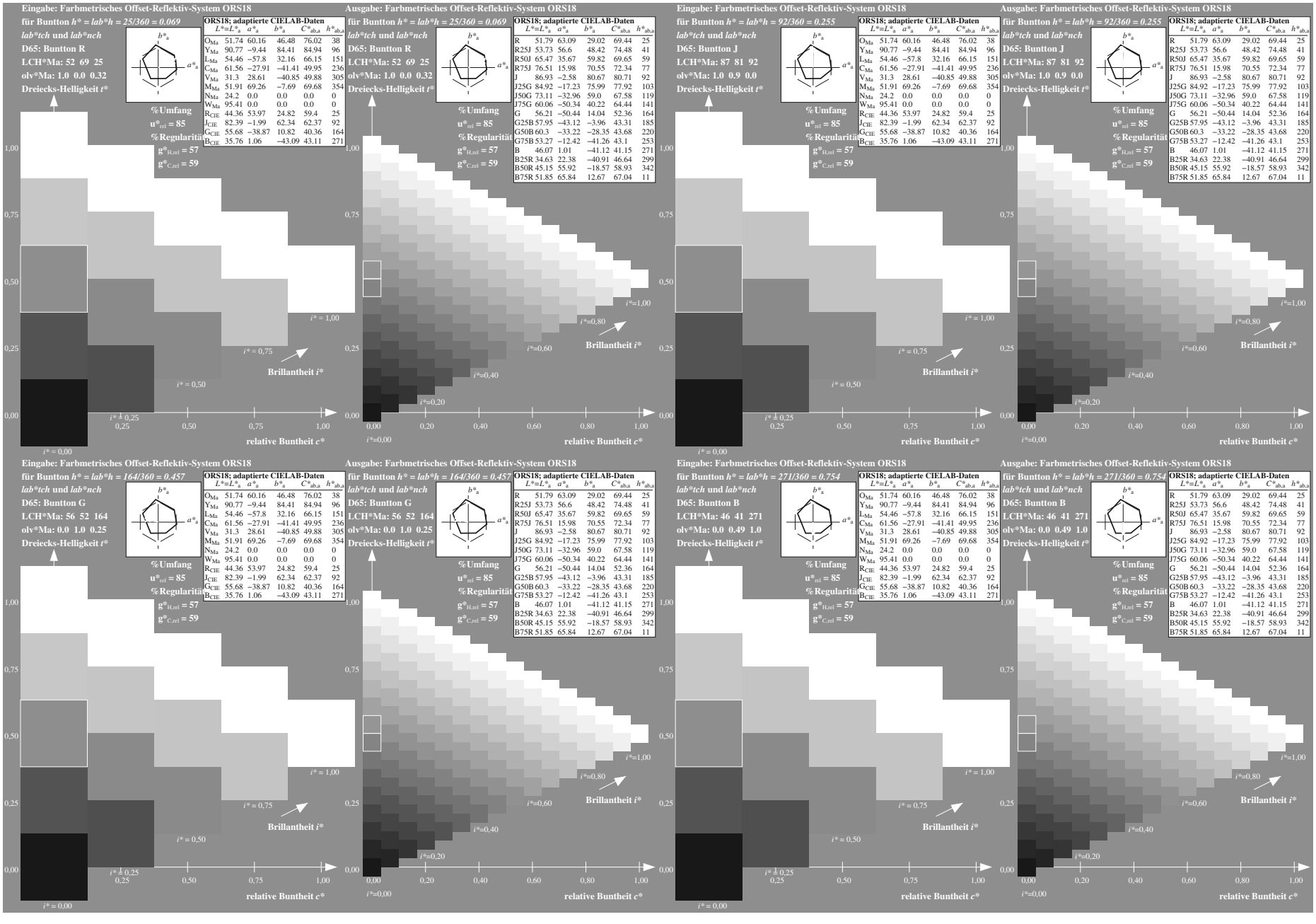
BAM-Registrierung: 20071001-ZG93/10L/L93G00FA.PS/.TXT BAM-Material: Code=rha4ta
Anwendung für Beurteilung und Messung von Drucker– oder Monitorsystemen